

## การวิเคราะห์เชิงความถี่

### ตอนที่ 1 : แนวคิดของความถี่ของสัญญาณ (Concept of Frequency of Signal)

ในทางทฤษฎี สัญญาณสามารถถูกแบ่งเป็นผลรวมของสัญญาณคลื่นไซน์ (**sinusoidal**) ที่มีความถี่ที่แตกต่างกัน เพื่อให้เข้าใจองค์ประกอบของสัญญาณโดยทั่วไป เราจะวิเคราะห์ถึงองค์ประกอบของสัญญาณคลื่นไซน์ซึ่งสัญญาณคลื่นไซน์  $y(t)$  สามารถเขียนเป็นฟังก์ชันได้ดังต่อไปนี้

$$y(t) = R \cos(2\pi f t + \phi)$$

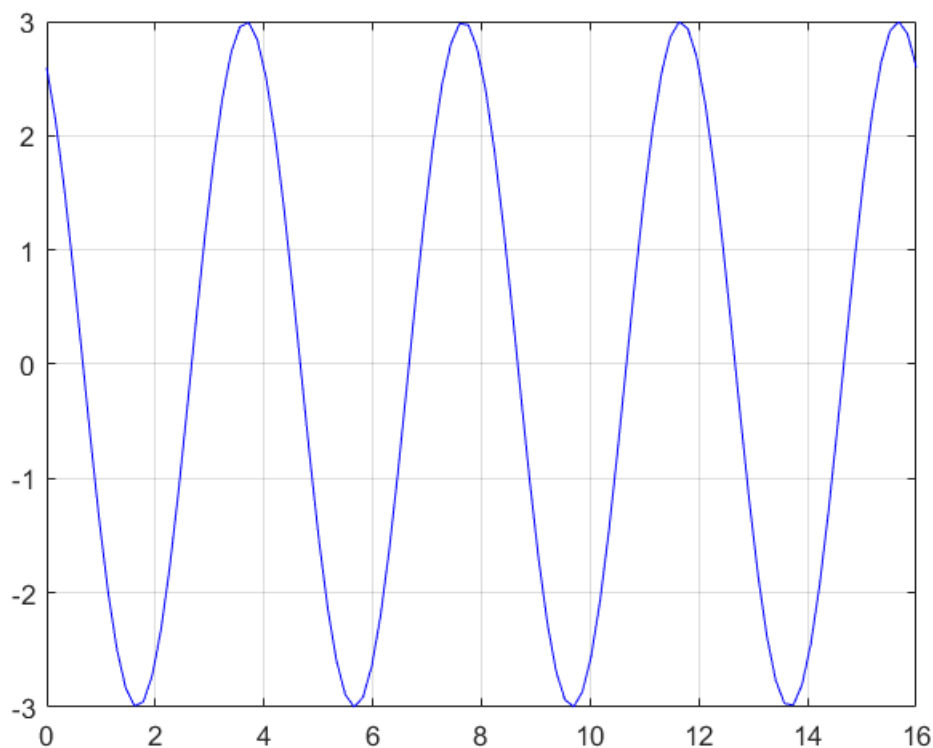
โดยที่

$R$  [unit] คือ แอมพลิจูด (Amplitude) ของคลื่น

$f$  [Hz] คือ ความถี่ (frequency) ของคลื่น

$\phi$  [rad] คือ มุมเฟส (phase angle)

```
R = 3;  
f = 0.25;  
phi = pi/6;  
t = linspace(0,4/f,100)';  
y = R*cos(2*pi*f*t+phi);  
ax = axes;  
plot(ax,t,y, 'b');  
grid(ax, 'on');
```



ในบางครั้ง การวิเคราะห์สัญญาณอาจจะใช้ตัวแปรความถี่เชิงมุม (angular frequency)  $\omega \left[ \frac{\text{rad}}{s} \right]$  ซึ่งมีความสัมพันธ์กับความถี่ปกติดังต่อไปนี้

$$\omega = 2\pi f$$

ดังนั้นเราสามารถเขียนสัญญาณได้ดังต่อไปนี้

$$y(t) = R \cos(\omega t + \phi)$$

ถ้าเรามีสัญญาณที่มีความถี่เท่ากันและเอามารวมกัน เราสามารถที่จะรวมแอมพลิจูดของสัญญาณนี้ได้

กำหนดให้ สัญญาณ A ( $y_A$ ) และสัญญาณ B ( $y_B$ ) มีแอมพลิจูดเท่ากับ  $R_A$  และ  $R_B$  และมุมเฟสเท่ากับ  $\phi_A$  และ  $\phi_B$  โดยให้ความถี่เชิงมุมเท่ากับ  $\omega$  ซึ่งสามารถเขียนเป็นสมการได้ดังต่อไปนี้

$$y_A(t) = R_A \cos(\omega t + \phi_A)$$

$$y_B(t) = R_B \cos(\omega t + \phi_B)$$

หากเรานำทั้งสองสัญญาณนี้มารวมกัน เราจะได้สัญญาณลัพธ์ดังต่อไปนี้

$$y(t) = y_A(t) + y_B(t) = R_A \cos(\omega t + \phi_A) + R_B \cos(\omega t + \phi_B)$$

เพื่อการจัดรูป เราสามารถกระจาย COS ของผลบวกได้ดังต่อไปนี้

$$y(t) = R_A \cos(\omega t) \cos(\phi_A) - R_A \sin(\omega t) \sin(\phi_A) + R_B \cos(\omega t) \cos(\phi_B) - R_B \sin(\omega t) \sin(\phi_B)$$

$$y(t) = [R_A \cos(\phi_A) + R_B \cos(\phi_B)] \cos(\omega t) - [R_A \sin(\phi_A) + R_B \sin(\phi_B)] \sin(\omega t)$$

เพื่อการจัดรูป เราจะกำหนดให้

$$R \cos(\phi) = R_A \cos(\phi_A) + R_B \cos(\phi_B)$$

$$R \sin(\phi) = R_A \sin(\phi_A) + R_B \sin(\phi_B)$$

การกำหนดดังกล่าวทำให้เราจัดรูปสัญญาณให้เป็นรูปปกติได้ดังต่อไปนี้

$$y(t) = R \cos(\omega t + \phi)$$

$$R = \sqrt{R_A^2 + R_B^2 + 2R_A R_B \cos(\phi_A - \phi_B)}$$

$$\phi = \tan^{-1} \left( \frac{R_A \sin(\phi_A) + R_B \sin(\phi_B)}{R_A \cos(\phi_A) + R_B \cos(\phi_B)} \right)$$

การคำนวณแสดงให้เห็นว่าเราสามารถนำสัญญาณคลื่นไซน์ที่มีความถี่เดียวกันได้เป็นคลื่นเดียวกัน

```
R_A = 3;
R_B = 5;
phi_A = pi/6;
phi_B = pi/4;
f = 0.25;
w = 2*pi*f;
t = linspace(0,4/f,100)';
y_A = R_A*cos(w*t+phi_A);
y_B = R_B*cos(w*t+phi_B);
y_C = y_A+y_B;
R = sqrt(R_A^2+R_B^2+2*R_A*R_B*cos(phi_A-phi_B));
```

```

phi = atan((R_A*sin(phi_A)+R_B*sin(phi_B))/(R_A*cos(phi_A)+R_B*cos(phi_B)));
y_D = R*cos(w*t+phi);
clf
ax = axes;
hold(ax, 'on')
plot(ax,t,y_C, 'b');
plot(ax,t,y_D, 'ro');
grid(ax, 'on');

```

หากเรารวมสัญญาณคลื่นไซน์ที่มีความถี่ที่แตกต่างกัน เราจะได้ฟังก์ชันที่เป็นคาบ แต่เราจะได้ฟังก์ชันที่เป็นคลื่นไซน์ ยกตัวอย่างเช่น

$$y(t) = R_A \cos(\omega_A t + \phi_A) + R_B \cos(\omega_B t + \phi_B)$$

โดยที่

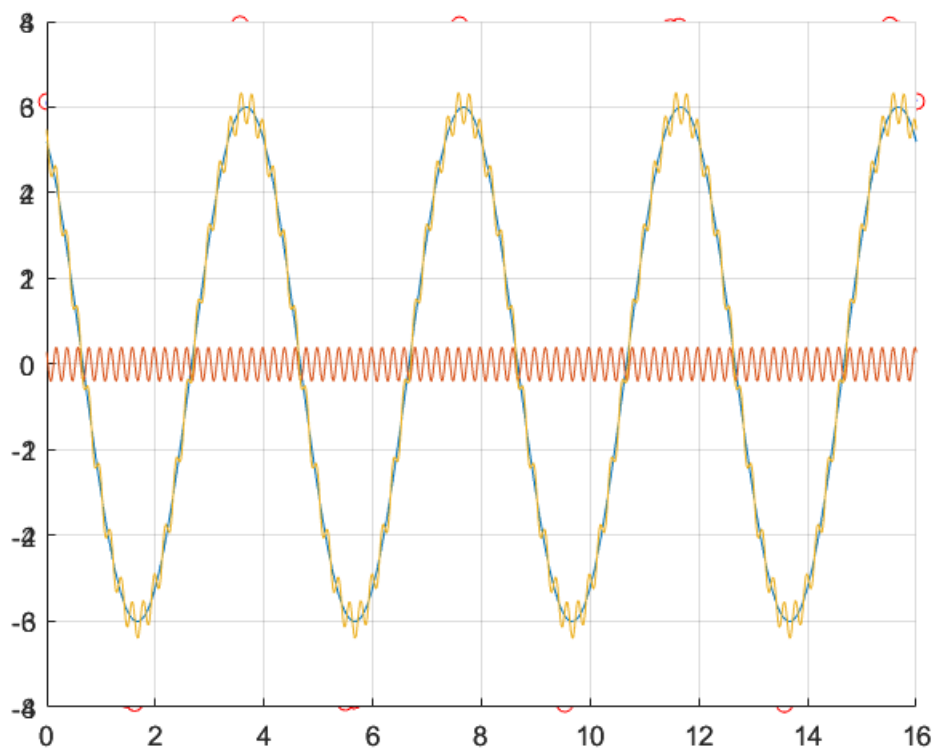
$$R_A > R_B$$

$$\omega_A < \omega_B$$

```

R_A = 3;
R_B = 0.2;
phi_A = pi/6;
phi_B = pi/4;
f = 0.25;
w_A = 2*pi*f;
w_B = 2*pi*f*20;
t = linspace(0,4/f,1000)';
y_A = R_A*cos(w_A*t+phi_A);
y_B = R_B*cos(w_B*t+phi_B);
y_C = y_A+y_B;
ax = axes;
hold(ax, 'on')
plot(ax,t,y_A);
plot(ax,t,y_B);
plot(ax,t,y_C);
grid(ax, 'on');

```



## การวิเคราะห์เชิงความถี่

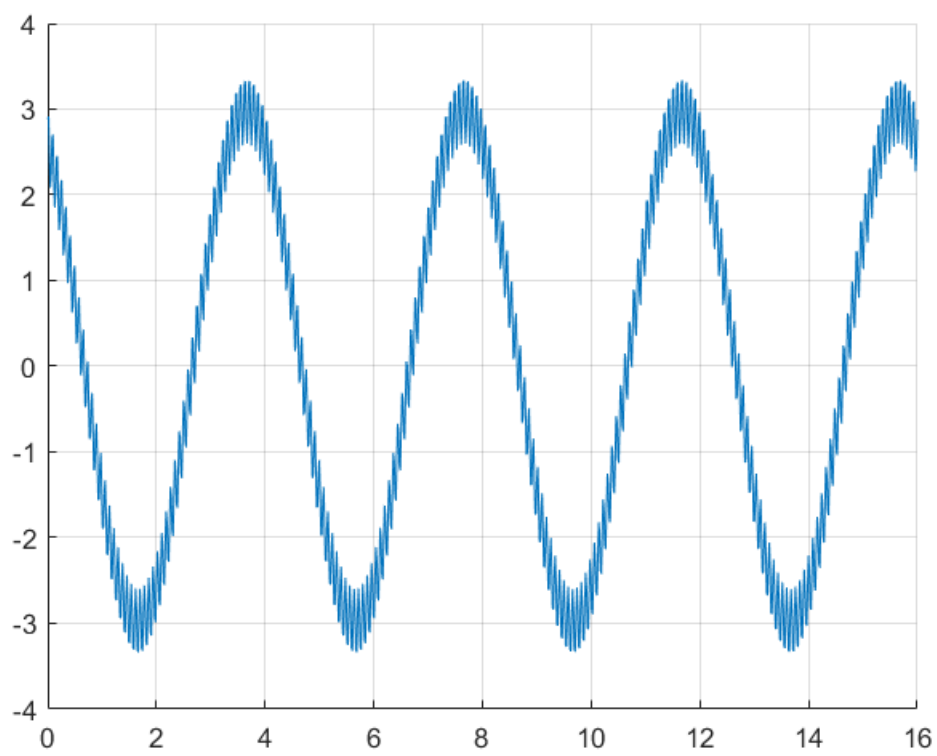
### ตอนที่ 2 : แนวคิดของสัญญาณรบกวน (Concept of Noise)

ในโลกความเป็นจริง สัญญาณที่อ่านได้จากเซนเซอร์อาจโดนสัญญาณที่ไม่ต้องการเข้ามาแทรก สัญญาณนี้เรียกว่า สัญญาณรบกวน (**noise**) ซึ่งสามารถเป็นลักษณะได้ทั้งในความถี่ที่ต่ำและความถี่ที่สูง โดยทั่วไปแล้ว สัญญาณรบกวนอาจเกิดจากการสั่นสะเทือนทางกล (**mechanical vibration**) หรือ การรบกวนทางแม่เหล็กไฟฟ้า (**EMI, electromagnetic interference**) เช่นหลอด fluorescent

ถึงแม้ว่าสัญญาณรบกวนจะไม่ใช่สัญญาณคลื่นไซน์ แต่เราสามารถจำลองสัญญาณรบกวนในรูปแบบของผลรวมของสัญญาณหลายๆอันได้

สัญญาณรบกวนที่มีความถี่สูง (**high-frequency noise**)

```
R_A = 3;
R_B = 0.4;
phi_A = pi/6;
phi_B = pi/4;
f = 0.25;
w_A = 2*pi*f;
w_B = 2*pi*f*200;
t = linspace(0,4/f,1000)';
y_A = R_A*cos(w_A*t+phi_A);
noise = R_B*cos(w_B*t+phi_B);
y = y_A+noise;
ax = axes;
hold(ax, 'on')
plot(ax,t,y);
grid(ax, 'on');
```



# การวิเคราะห์เชิงความถี่

## ตอนที่ 1 : แนวคิดของพลังของสัญญาณ (Concept of Power of Signal)

ก่อนที่จะพูดถึงการลดทอนสัญญาณรบกวน เราจำเป็นต้องศึกษาเกี่ยวกับพลังของสัญญาณ

กำหนดให้พลัง (power)  $P$  ของสัญญาณแบบเวลาต่อเนื่อง  $x(t)$  ที่เป็นคาบ (periodic) สามารถคำนวณได้จากสมการดังต่อไปนี้

$$P = \frac{1}{T} \int_{t=-\frac{T}{2}}^{\frac{T}{2}} (|x(t)|^2) dt$$

โดยที่  $T$  คือคาบ (Period) ของสัญญาณ

เมื่อประยุกต์ใช้นี้กับสัญญาณคลื่นไซน์ เราจะสามารถหาความสัมพันธ์ระหว่างพลังของสัญญาณและแอมพลิจูดของสัญญาณได้ดังต่อไปนี้

$$x(t) = R \cos(\omega t + \phi)$$

$$T = \frac{1}{f} = \frac{2\pi}{\omega}$$

$$u = \omega t + \phi$$

$$du = \omega dt$$

$$dt = \frac{du}{\omega}$$

$$\begin{aligned} P &= \frac{\omega}{2\pi} \int_{t=-\frac{\pi}{\omega}}^{\frac{\pi}{\omega}} (|R \cos(\omega t + \phi)|^2) dt \\ &= \frac{1}{2\pi} R^2 \int_{\tau=-\pi+\phi}^{\pi+\phi} (\cos^2(u)) du \\ &= \frac{1}{2\pi} R^2 \left[ \frac{1}{2} u + \frac{1}{4} \sin(2u) \right]_{\tau=-\pi+\phi}^{\pi+\phi} \\ &= \frac{1}{2} R^2 \end{aligned}$$

เราสรุปได้ว่า พลังของสัญญาณแบบคลื่นไซน์นั้นเท่ากับ ครึ่งหนึ่งของค่าแอมพลิจูดที่โดนกำลังสอง

พลังของสัญญาณถูกนำมาใช้ในการเปรียบสัญญาณที่เราสนใจและสัญญาณรบกวน เราทำการกำหนดให้ อัตราส่วนสัญญาณต่อสัญญาณรบกวน (Signal-to-Noise ratio, SNR, S/N) เป็นอัตราส่วนของพลังของสัญญาณที่เราสนใจ  $y$  และสัญญาณรบกวน  $w$

$$\text{SNR} = \frac{P_y}{P_w} = \frac{R_y^2}{R_w^2}$$

โดยส่วนมาก อัตราส่วนสัญญาณต่อสัญญาณรบกวนมักจะถูกอธิบายในเดซิเบล (decibel) ซึ่งเขียนเป็นสมการได้ดังนี้

$$\text{SNR}_{\text{dB}} = 10 \log_{10} \left( \frac{P_y}{P_w} \right) = 10 \log_{10} \left( \frac{R_y^2}{R_w^2} \right) = 20 \log_{10} \left( \frac{R_y}{R_w} \right)$$

ค่าของอัตราส่วนสัญญาณต่อสัญญาณรบกวนที่คั่นขึ้นขึ้นอยู่กับประสิทธิภาพใช้ของสัญญาณ เช่นการสื่อสารไร้สาย การป้อนกลับของสัญญาณในระบบควบคุมการเคลื่อนที่ การกรองสัญญาณภาพถ่าย ยิ่งค่าของอัตราส่วนสัญญาณต่อสัญญาณรบกวนมากเท่าไร ยิ่งทำให้สัญญาณชัดเจนขึ้น



## การวิเคราะห์เชิงความถี่

### ตอนที่ 4 : ผลตอบสนองแบบชั่วคราว และ ผลตอบสนองแบบคงตัว (Transient Response & Steady-state Response)

ระบบพลวัตแบบ LTI (Linear Time-Invariant) และ SISO (Single-Input Single Output) สามารถเขียนอยู่ในรูปของสมการเชิงอนุพันธ์ได้ดังต่อไปนี้

$$a_n \frac{d^n}{dt^n} (y(t)) + a_{n-1} \frac{d^{n-1}}{dt^{n-1}} (y(t)) + \dots + a_1 \frac{d}{dt} (y(t)) + a_0 y(t) = b_m \frac{d^m}{dt^m} (u(t)) + b_{m-1} \frac{d^{m-1}}{dt^{m-1}} (u(t)) + \dots + b_1 \frac{d}{dt} (u(t)) + b_0 u(t)$$

สมการดังกล่าวจะมีผลเฉลยเป็น  $y(t)$  ซึ่งตามหลักการแก้หาผลเฉลยของสมการเชิงอนุพันธ์แบบเชิงเส้น ผลเฉลยนี้จะประกอบไปด้วย 2 ส่วนซึ่งก็คือ ผลเฉลยเชิงเอกพันธ์  $y_h(t)$  และ ผลเฉลยเฉพาะ  $y_p(t)$

$$y(t) = y_h(t) + y_p(t)$$

ผลเฉลยเชิงเอกพันธ์คือผลเฉลยของสมการเชิงอนุพันธ์ที่ไม่มีอินพุตหรือสมการเชิงเอกพันธ์ (solution of the homogeneous equation) ซึ่งเมื่อเอาผลเฉลยนี้ไปแทนค่าในสมการ เราจะได้ความสัมพันธ์ดังต่อไปนี้

$$a_n \frac{d^n}{dt^n} (y_h(t)) + a_{n-1} \frac{d^{n-1}}{dt^{n-1}} (y_h(t)) + \dots + a_1 \frac{d}{dt} (y_h(t)) + a_0 y_h(t) = 0$$

ไม่ว่าจะขยายผลเฉลยนี้มากน้อยเพียงใด ผลลัพธ์จากการแทนค่าของสมการเชิงอนุพันธ์จะทำให้ได้ 0 เสมอ ดังนั้นสมการเชิงอนุพันธ์ที่เป็นเชิงเส้นจะมีผลเฉลยเชิงเอกพันธ์พ่วงอยู่ด้วยเสมอ

ส่วนที่จะทำให้สมการเชิงอนุพันธ์เป็นจริงได้นั้นคือผลเฉลยเฉพาะ  $y_p(t)$

$$a_n \frac{d^n}{dt^n} (y_p(t)) + a_{n-1} \frac{d^{n-1}}{dt^{n-1}} (y_p(t)) + \dots + a_1 \frac{d}{dt} (y_p(t)) + a_0 y_p(t) = b_m \frac{d^m}{dt^m} (u(t)) + b_{m-1} \frac{d^{m-1}}{dt^{m-1}} (u(t)) + \dots + b_1 \frac{d}{dt} (u(t)) + b_0 u(t)$$

ผลเฉลยของสมการเชิงอนุพันธ์เชิงเส้นจะประกอบไปด้วย 2 องค์ประกอบนี้เสมอ

#### ตัวอย่างที่ 1

หากเรากำหนดให้ สมการเชิงอนุพันธ์เป็นดังต่อไปนี้

$$\begin{aligned} \dot{y} + k \cdot y &= u \\ u(t) &= t \end{aligned}$$

โดยที่  $k$  เป็นค่าคงที่

เนื่องจากผลเฉลยประกอบไปด้วย  $y_h$  และ  $y_p$  เราสามารถแก้สมการได้โดยการสร้างสมการเชิงเอกพันธ์จากสมการที่กำหนดมาให้เพื่อที่จะนำไปแก้หา  $y_h$  เมื่อนำ  $y_h$  ไปแทนค่าในสมการเชิงอนุพันธ์ เราจะได้สมการดังต่อไปนี้

$$\dot{y}_h + k \cdot y_h = 0$$

จากนั้นเราทำการแก้สมการได้ดังต่อไปนี้

$$\dot{y}_h = -k \cdot y_h$$

$$\frac{1}{y_h} \dot{y}_h = -k$$

$$\int \left( \frac{1}{y_h} \dot{y}_h \right) dt = \int (-k) dt$$

$$\ln(y_h) = -k \cdot t + C_1$$

$$y_h = e^{-k \cdot t + C} = C \cdot e^{-k \cdot t}$$

เราจะได้ว่า

$$y_h(t) = C \cdot e^{-k \cdot t}$$

จากนั้น เราสามารถที่จะเดารูปแบบของ  $y_p$  ให้อยู่ในรูปที่คล้ายกับ  $u(t)$  ได้ เนื่องจาก  $u(t)$  เป็นฟังก์ชันพหุนามกำลังหนึ่ง เราจะเดาให้  $y_p$  อยู่ในรูปพหุนามกำลังหนึ่งดังต่อไปนี้

$$y_p(t) = A \cdot t + B$$

เมื่อเราเอาไปแทนสมการเชิงอนุพันธ์ เราจะได้สมการความสัมพันธ์ดังต่อไปนี้

$$\frac{d}{dt} (A \cdot t + B) + k \cdot (A \cdot t + B) = t$$

$$A + k \cdot A \cdot t + k \cdot B = t$$

หากเราจับคู่ความสัมพันธ์ของสัมประสิทธิ์ เราจะได้ระบบสมการดังต่อไปนี้

$$k \cdot A = 1$$

$$A + k \cdot B = 0$$

เมื่อเราแก้ระบบสมการดังกล่าวเราจะได้ว่า

$$A = \frac{1}{k}$$

$$B = -\frac{A}{k}$$

$$B = -\frac{1}{k^2}$$

$$y_p(t) = \frac{1}{k} t - \frac{1}{k^2}$$

ดังนั้นผลเฉลยของสมการเชิงอนุพันธ์จะเขียนอยู่ในรูปผลบวกของ  $y_h$  และ  $y_p$  ดังต่อไปนี้

$$y(t) = [C \cdot e^{-k \cdot t}] + \left[ \frac{1}{k} t - \frac{1}{k^2} \right]$$

ในเชิงของระบบพลวัต ตัวระบบเองนั้นถูกจำลองในรูปแบบของสมการเชิงอนุพันธ์ และผลเฉลยของสมการเชิงอนุพันธ์นั้นก็คือ ผลตอบสนอง (response) ของระบบ

ระบบพลวัตแบบ **LTI (Linear Time-Invariant)** และ **SISO (Single-Input Single Output)** นั้นจะประกอบไปด้วยผลตอบสนอง **2** ส่วนด้วยกัน ซึ่งได้แก่

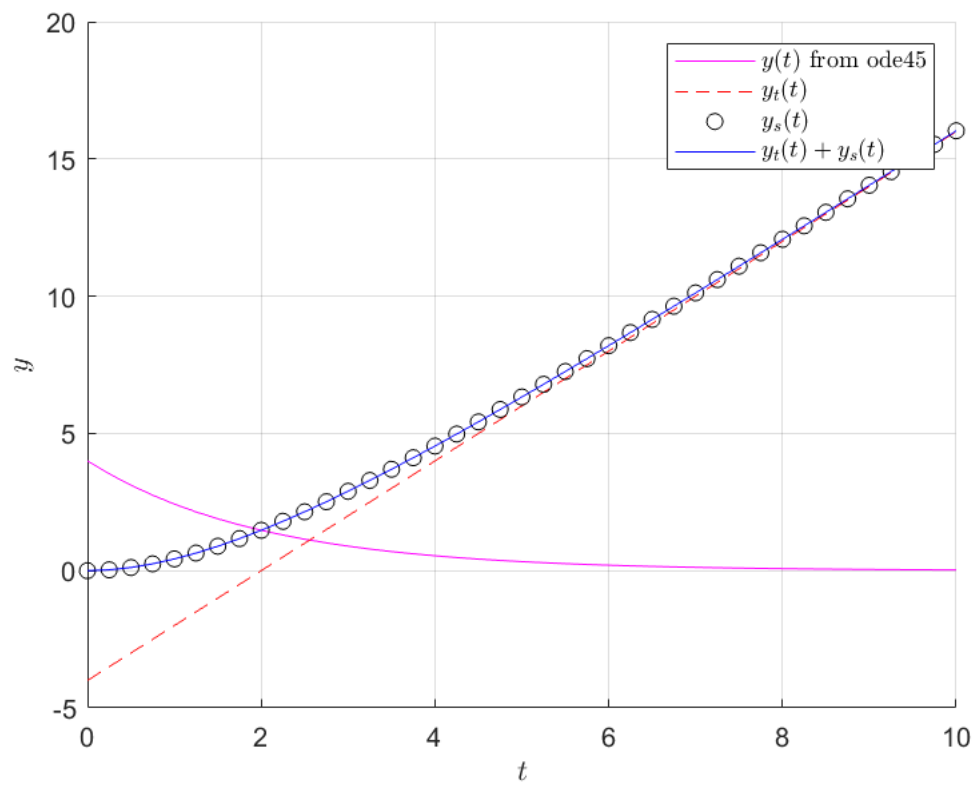
- ผลตอบสนองแบบชั่วคราว (transient response)  $y_t(t)$
- ผลตอบสนองแบบคงตัว (steady-state response)  $y_s(t)$

ซึ่งในเชิงของสมการอนุพันธ์ ผลตอบสนองแบบชั่วคราวก็คือผลเฉลยเชิงเอกพันธ์ และผลตอบสนองแบบคงตัวคือผลเฉลยเฉพาะ นอกจากคุณสมบัติทางคณิตศาสตร์แล้ว เราสามารถอธิบายความหมายของผลตอบสนองแต่ละส่วนในเชิงของระบบพลวัตได้อีกด้วย

เมื่อระบบพลวัตถูกกระตุ้นด้วยอินพุต ระบบจะเปลี่ยนไปตามธรรมชาติของระบบเอง ธรรมชาติของระบบนี้จะเกิดขึ้นทันทีและเป็นการเปลี่ยนแปลงที่ "อาจ" จะเกิดขึ้นแค่ชั่วขณะ เนื่องจากระบบพลวัตมีการเปลี่ยนแปลงตามเวลาและมีสถานะที่ไม่อยากจะเปลี่ยนกระทันหันได้ ระบบจึงมีผลตอบสนองตามธรรมชาติของมัน

นอกจากนั้นระบบพลวัตเองก็ต้องเปลี่ยนแปลงไปตามอินพุต มันจึงไม่แปลกระบบจะมีผลตอบสนองแบบคงตัวที่มีลักษณะคล้ายกับอินพุต

```
k = 0.5;
t_max = 10;
tspan = [0 t_max];
y0 = 0;
u = @(t)t;
[t,y] = ode45(@(t,y)-k*y+u(t),tspan,y0); % [t,y] = ode45(odefun,tspan,y0), where tspan = [t0 tf]
y_s = t/k-1/k^2;
y_t = (1/k^2+y0)*exp(-k*t);
clf
ax = axes;
hold(ax, 'on');
grid(ax, 'on')
plot(ax,t,y_t, 'm')
plot(ax,t,y_s, 'r--')
plot(ax,t,y_t+y_s, 'ko')
plot(ax,t,y, 'b')
xlabel('$t$', 'Interpreter', "latex");
ylabel('$y$', 'Interpreter', "latex");
legend({'$y(t)$ from ode45', '$y_t(t)$', '$y_s(t)$', '$y_t(t)+y_s(t)$'}, 'Interpreter', "latex")
```



เมื่อเราทำการวิเคราะห์ระบบพลวัต เราสามารถที่จะศึกษาในแต่ละส่วนของผลตอบสนองแยกกัน หากเราต้องการที่จะวิเคราะห์ผลตอบสนองเชิงเวลา เราจะทำการศึกษาเฉพาะในส่วนของผลตอบสนองแบบชั่วคราว  $y_t(t)$

แต่เราต้องการที่จะวิเคราะห์ผลตอบสนองเชิงความถี่ เราจะทำการศึกษาเฉพาะในส่วนของผลตอบสนองแบบคงตัว  $y_s(t)$

## การวิเคราะห์เชิงความถี่

### ตอนที่ 5 : อัตราส่วนขนาดและเฟสการเลื่อน (Magnitude Ratio & Phase Shift)

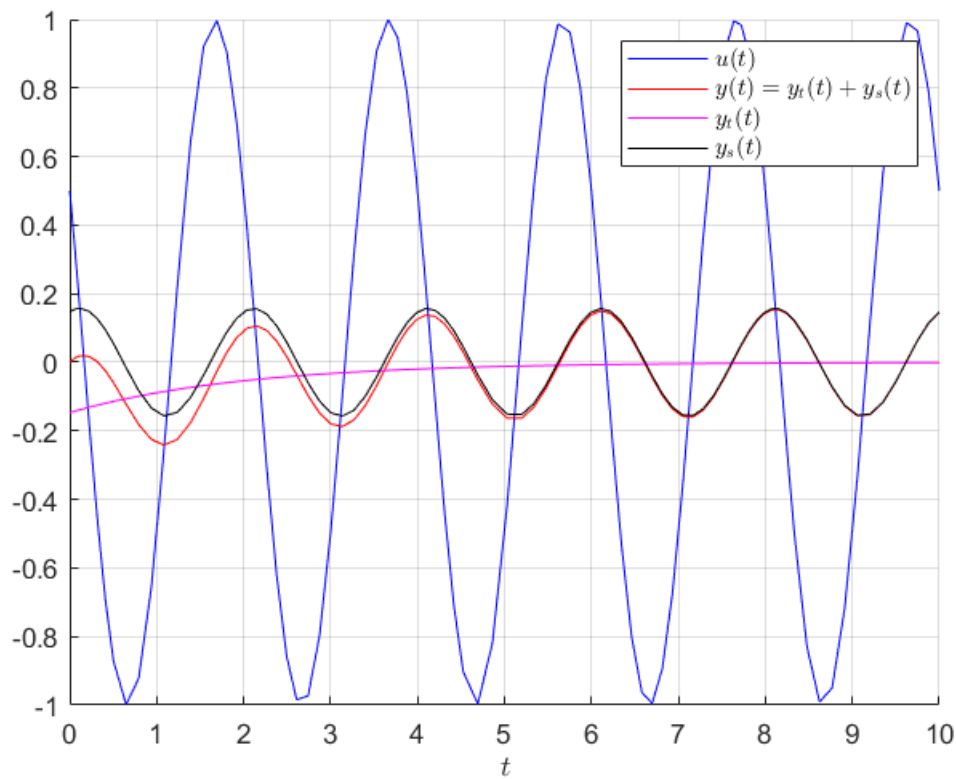
หากเรานำแนวคิดของการวิเคราะห์สัญญาณในรูปแบบของคลื่นไซน์มารวมกับระบบพลวัต เราจะสามารถศึกษาพฤติกรรมของผลตอบสนองได้ในเชิงความถี่ การป้อนอินพุตที่เป็นคลื่นไซน์ให้กับระบบพลวัตทำให้ผลตอบสนองแบบคงตัวมีลักษณะเป็นคลื่นไซน์ ส่วนผลตอบสนองแบบชั่วคราวจะเข้าสู่ศูนย์ คงที่ หรือ โดเป็นอนันต์ก็ได้ ดังนั้นเราสามารถเขียนเป็นสมการความสัมพันธ์ได้ดังต่อไปนี้

$$u(t) = R_{in} \cos(\omega t + \phi_{in})$$

$$y(t) = y_t(t) + R_{out} \cos(\omega t + \phi_{out})$$

$$G(s) = \frac{Y(s)}{U(s)}$$

```
R_in = 1;
f = 0.5;
w = 2*pi*f;
phi_in = pi/3;
u = @(t)R_in*cos(w*t+phi_in); %u(t)
t_max = 10;
tspan = [0 t_max];
y0 = 0;
w_c = 1/2;
[t,y] = ode45(@(t,y)[-w_c*y+w_c*u(t)],tspan,y0);
ax = axes;
hold(ax,'on')
grid(ax,'on')
plot(ax,t,u(t),'b')
plot(ax,t,y,'r')
plot(ax,t,-R_in*w_c/(w^2+w_c^2)*(w*sin(phi_in)+w_c*cos(phi_in))*exp(-w_c*t),'m')
R_out = R_in/sqrt(1+(w/w_c)^2);
phi_out = phi_in-atan(w/w_c);
plot(ax,t,R_out*cos(w*t+phi_out),'k')
xlabel('$t$', 'Interpreter', "latex")
legend({'$u(t)$', '$y(t)=y_t(t)+y_s(t)$', '$y_t(t)$', '$y_s(t)$'}, 'Interpreter', "latex")
```



จากภาพ เราจะสังเกตเห็นได้ว่า ผลตอบสนองแบบคงตัว  $y_s(t)$  นั้นมีลักษณะเป็นคลื่นไซน์ที่มีแอมพลิจูดและมุมเฟสที่แตกต่างกับอินพุต และผลตอบสนองแบบชั่วคราวนั้นเข้าสู่ศูนย์ เราจึงวิเคราะห์ความสัมพันธ์ของความถี่กับผลตอบสนองแบบคงตัวเท่านั้น

กำหนดให้อัตราส่วนขนาด (magnitude ratio)  $| \cdot |$  ของฟังก์ชันถ่ายโอน  $G$  คืออัตราส่วนระหว่างแอมพลิจูดของคลื่นเอาต์พุตและคลื่นอินพุต

$$|G| = \frac{R_{out}}{R_{in}}$$

ข้อสังเกตของอัตราส่วนขนาดมีดังต่อไปนี้

1. อัตราส่วนขนาดเป็นค่าบวกเสมอเนื่องจากแอมพลิจูดของสัญญาณเป็นบวกเสมอ
2. หากอัตราส่วนขนาดของฟังก์ชันถ่ายโอนน้อยกว่า 1 แอมพลิจูดของเอาต์พุตจะถูกลดทอนให้น้อยลง (Attenuated)
3. หากอัตราส่วนขนาดของฟังก์ชันถ่ายโอนมากกว่า 1 แอมพลิจูดของเอาต์พุตจะถูกขยายให้เพิ่มขึ้น (Amplified)
4. กำลังสองของอัตราส่วนขนาดจะเท่ากับอัตราส่วนกำลังของฟังก์ชันถ่ายโอน

$$|G|^2 = \frac{R_{out}^2}{R_{in}^2}$$

ตามหลักของการวิเคราะห์สัญญาณและระบบ อัตราส่วนขนาดมักจะถูกวิเคราะห์ในหน่วยเดซิเบล (decibel) หนึ่งในสาเหตุหลักของการใช้เดซิเบลคือการวิเคราะห์อัตราส่วนที่มีช่วงกว้าง

$$|G|_{dB} = 20 \log_{10}(|G|)$$

ข้อสังเกตของอัตราส่วนขนาดในเดซิเบลมีดังต่อไปนี้

1. อัตราส่วนขนาดในเดซิเบลเป็นได้ทั้งบวกและลบ
2. หากอัตราส่วนขนาดของฟังก์ชันถ่ายโอนในเดซิเบลน้อยกว่า 0 dB แอมพลิจูดของเอาต์พุตจะถูกลดทอนให้น้อยลง
3. หากอัตราส่วนขนาดของฟังก์ชันถ่ายโอนในเดซิเบลมากกว่า 0 dB แอมพลิจูดของเอาต์พุตจะถูกขยายให้เพิ่มขึ้น

นอกจากนี้ เรายังสามารถวิเคราะห์ เฟสการเลื่อน (phase shift)

$$\angle(G) = \phi_{\text{out}} - \phi_{\text{in}}$$

ข้อสังเกตของเฟสการเลื่อนมีดังต่อไปนี้

1. เฟสการเลื่อนมีค่าอยู่ในช่วง  $[-\pi, \pi]$  [rad]
2. หากเฟสการเลื่อนมีค่าเป็นบวก สัญญาณเอาต์พุตจะถูกทำให้ล่าช้า (Lagging)
3. หากเฟสการเลื่อนมีค่าเป็นลบ สัญญาณเอาต์พุตจะถูกทำให้นำหน้า (Leading)

## การวิเคราะห์เชิงความถี่

### ตอนที่ 6 : การกรองสัญญาณพื้นฐาน และแผนภาพโบเด (Basic Filtering & Bode plot)

กระบวนการกรองสัญญาณ (filtering) คือการลดทอนสัญญาณที่อยู่ในย่านความถี่ (band) ที่ไม่ต้องการให้น้อยลง

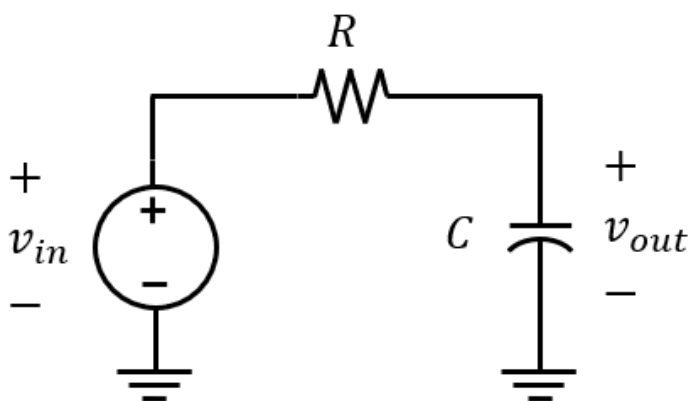
Pass Band : ย่านความถี่ของสัญญาณที่ตัวกรอง (filter) ให้ผ่าน

Stop Band : ย่านความถี่ของสัญญาณที่ตัวกรองไม่ให้ผ่าน

Cutoff Frequency : ความถี่ ณ ขอบเขตระหว่างการให้สัญญาณผ่านและไม่ผ่าน

เราจะเริ่มศึกษาพื้นฐานของกระบวนการกรองสัญญาณจากตัวกรองแบบอนาล็อกอันดับที่หนึ่ง (first-order analog filter)

กำหนดให้วงจร RC อันดับที่หนึ่ง (first-order RC circuit) เป็นดังต่อไปนี้



โดยที่

$R$  คือความต้านทาน (resistance) ของตัวต้านทาน

$C$  คือความจุ (capacitance) ของตัวเก็บประจุ

$v_{in}$  คือแรงดันไฟฟ้าอินพุต (input voltage)

$v_{out}$  คือแรงดันไฟฟ้าเอาต์พุต (output voltage)

เราสามารถใช้กฎของ Kirchhoff ในการหาแบบจำลองทางคณิตศาสตร์ดังต่อไปนี้

$$v_{in} = Ri + v_c$$

$$i = C \frac{dv_c}{dt}$$

$$v_{out} = v_c$$

หรือ

$$v_{in} = RC \frac{dv_{out}}{dt} + v_{out}$$



เราสามารถวิเคราะห์ระบบโดยใช้โดเมนของลาปลาซเพื่อหาฟังก์ชันถ่ายโอน (**transfer function**) ซึ่งสามารถเขียนได้ดังต่อไปนี้

$$L\{v_{in}\} = L\left\{RC\frac{dv_{out}}{dt} + v_{out}\right\}$$

$$V_{in}(s) = RCsV_{out}(s) + V_{out}(s)$$

$$G(s) = \frac{V_{out}(s)}{V_{in}(s)} = \frac{1}{RCs + 1} = \frac{\frac{1}{RC}}{s + \frac{1}{RC}} = \frac{\omega_c}{s + \omega_c}$$

โดยที่  $G(s)$  คือฟังก์ชันถ่ายโอนของวงจร และ  $\omega_c = \frac{1}{RC}$

เราจะกำหนดให้อินพุตอยู่ในรูปของฟังก์ชันคลื่นไซน์ที่มีแอมพลิจูดเท่ากับ  $R_{in}$  และมุมเฟส  $\phi_{in}$  ซึ่งเขียนได้ดังต่อไปนี้

$$v_{in}(t) = R_{in}\cos(\omega t + \phi_{in}) : \cos(A \pm B) = \cos A \cos B \mp \sin A \sin B$$

$$v_{in}(t) = R_{in}\cos(\phi_{in})\cos(\omega t) - R_{in}\sin(\phi_{in})\sin(\omega t)$$

$$V_{in}(s) = R_{in}\left(\frac{\cos(\phi_{in})s - \sin(\phi_{in})\omega}{s^2 + \omega^2}\right)$$

จากนั้น เราสามารถหาผลเฉลยของสมการเชิงอนุพันธ์โดยแก้สมการในโดเมนของลาปลาซ ซึ่งมีขั้นตอนดังต่อไปนี้

เราสามารถนำอินพุตไปคูณกับฟังก์ชันถ่ายโอนและแยกพจน์ให้อยู่ในรูปผลบวกโดยใช้เทคนิค **partial fraction**

$$\text{จาก } \frac{V_{out}(s)}{V_{in}(s)} = \frac{\omega_c}{s + \omega_c} \text{ และ } V_{in}(s) = R_{in}\left(\frac{\cos(\phi_{in})s - \sin(\phi_{in})\omega}{s^2 + \omega^2}\right)$$

$$V_{out}(s) = \left(\frac{\omega_c}{s + \omega_c}\right)R_{in}\left(\frac{\cos(\phi_{in})s - \sin(\phi_{in})\omega}{s^2 + \omega^2}\right)$$

$$V_{out}(s) = \frac{K_1}{s + \omega_c} + \frac{K_2s + K_3}{s^2 + \omega^2} = \frac{K_1(s^2 + \omega^2) + (K_2s + K_3)(s + \omega_c)}{(s + \omega_c)(s^2 + \omega^2)}$$

เราสามารถจับสัมประสิทธิ์เพื่อที่จะได้ระบบสมการเชิงเส้นดังต่อไปนี้

$$K_1 + K_2 = 0$$

$$K_3 + \omega_c K_2 = \omega_c R_{in} \cos(\phi_{in})$$

$$\omega^2 K_1 + \omega_c K_3 = -\omega_c \omega R_{in} \sin(\phi_{in})$$

เราได้ว่าสัมประสิทธิ์แต่ละตัวจะมีความสัมพันธ์ดังต่อไปนี้

$$K_1 = -\frac{R_{in}\omega_c}{\omega^2 + \omega_c^2} [\omega \sin(\phi_{in}) + \omega_c \cos(\phi_{in})]$$

$$K_2 = \frac{R_{in}\omega_c}{\omega^2 + \omega_c^2} [\omega \sin(\phi_{in}) + \omega_c \cos(\phi_{in})] \quad 0.$$

$$K_3 = \frac{R_{in}\omega_c \omega}{\omega^2 + \omega_c^2} [\omega \cos(\phi_{in}) - \omega_c \sin(\phi_{in})]$$

เมื่อเราแทนค่า  $K_1$  ,  $K_2$  , และ  $K_3$  ในผลรวม เราจะสามารถเขียน  $V_{\text{out}}(s)$  ในรูปต่อไปนี้

$$V_{\text{out}}(s) = -\frac{R_{\text{in}}\omega_c}{\omega^2 + \omega_c^2} [\omega \sin(\phi_{\text{in}}) + \omega_c \cos(\phi_{\text{in}})] \left( \frac{1}{s + \omega_c} \right) + \frac{R_{\text{in}}\omega_c}{\omega^2 + \omega_c^2} \left( \frac{[\omega \sin(\phi_{\text{in}}) + \omega_c \cos(\phi_{\text{in}})]s + [\omega \cos(\phi_{\text{in}}) - \omega_c \sin(\phi_{\text{in}})]\omega}{s^2 + \omega^2} \right)$$

หากเราใช้หลักการหาลาปลาซผกผันดังต่อไปนี้

$$\mathcal{L}^{-1} \left( \frac{as + b\omega}{s^2 + \omega^2} \right) = \sqrt{a^2 + b^2} \cos \left( \omega t + \tan^{-1} \left( \frac{-b}{a} \right) \right)$$

เราสามารถหาเอาต์พุตในรูปของผลรวมของผลตอบสนองแบบชั่วคราวและผลตอบสนองแบบคงตัวในโดเมนของเวลาได้ดังต่อไปนี้

$$v_{\text{out}}(t) = v_t(t) + v_s(t)$$

$$v_t(t) = -\frac{R_{\text{in}}\omega_c}{\omega^2 + \omega_c^2} [\omega \sin(\phi_{\text{in}}) + \omega_c \cos(\phi_{\text{in}})] e^{-\omega_c t}$$

$$v_s(t) = R_{\text{out}} \cos(\omega t + \phi_{\text{out}})$$

$$R_{\text{out}} = \frac{R_{\text{in}}\omega_c}{\omega^2 + \omega_c^2} \sqrt{[\omega \sin(\phi_{\text{in}}) + \omega_c \cos(\phi_{\text{in}})]^2 + [\omega \cos(\phi_{\text{in}}) - \omega_c \sin(\phi_{\text{in}})]^2} = \frac{R_{\text{in}}\omega_c}{\omega^2 + \omega_c^2} \sqrt{\omega^2 + \omega_c^2} = \frac{1}{\sqrt{1 + \left( \frac{\omega}{\omega_c} \right)^2}} R_{\text{in}}$$

$$\phi_{\text{out}} = \tan^{-1} \left( \frac{\omega_c \sin(\phi_{\text{in}}) - \omega \cos(\phi_{\text{in}})}{\omega \sin(\phi_{\text{in}}) + \omega_c \cos(\phi_{\text{in}})} \right) = \tan^{-1} \left( \frac{\tan(\phi_{\text{in}}) - \frac{\omega}{\omega_c}}{1 + \frac{\omega}{\omega_c} \tan(\phi_{\text{in}})} \right) = \tan^{-1} \left( \tan \left( \phi_{\text{in}} - \tan^{-1} \left( \frac{\omega}{\omega_c} \right) \right) \right) = \phi_{\text{in}} - \tan^{-1} \left( \frac{\omega}{\omega_c} \right)$$

เมื่อเวลาผ่านไป ผลตอบสนองแบบชั่วคราวจะเข้าสู่ศูนย์เนื่องจาก

$$\lim_{t \rightarrow \infty} \{v_t(t)\} = -\frac{R_{\text{in}}\omega_c}{\omega^2 + \omega_c^2} [\omega \sin(\phi_{\text{in}}) + \omega_c \cos(\phi_{\text{in}})] \lim_{t \rightarrow \infty} \{e^{-\omega_c t}\} = 0$$

เราจึงวิเคราะห์ความสัมพันธ์ของความถี่กับผลตอบสนองแบบคงตัวเท่านั้น

$$v_{\text{out}}(t) = R_{\text{out}} \cos(\omega t + \phi_{\text{out}})$$

หากเราวิเคราะห์ที่แอมพลิจูดของคลื่นเอาต์พุต เราจะได้ความสัมพันธ์ในเชิงของความถี่เชิงมุมดังต่อไปนี้

$$R_{\text{out}} = \frac{1}{\sqrt{1 + \left( \frac{\omega}{\omega_c} \right)^2}} R_{\text{in}}$$

เพื่อการวิเคราะห์ความสามารถในการลดทอนสัญญาณ เราสามารถหาอัตราส่วนขนาดในเดซิเบลได้ดังต่อไปนี้

$$|G(\omega)|_{\text{dB}} = 20 \log_{10} \left( \frac{1}{\sqrt{1 + \left( \frac{\omega}{\omega_c} \right)^2}} \right) = -10 \log_{10} \left( 1 + \left( \frac{\omega}{\omega_c} \right)^2 \right)$$

เนื่องจากฟังก์ชันดังกล่าวขึ้นอยู่กับพารามิเตอร์  $\omega_c$  เราจึงไม่สามารถวาดกราฟขึ้นมาได้ เพื่อให้การวิเคราะห์นั้นไม่ขึ้นอยู่กับค่า  $\omega_c$  เราสามารถทำการวิเคราะห์ความถี่ในรูปแบบความถี่สัมพัทธ์ (**relative frequency**) โดยกำหนดให้ความถี่สัมพัทธ์ของตัวอย่างเทียบกับ  $\omega_c$  เราจะได้ความถี่สัมพัทธ์ดังต่อไปนี้

$$\omega^* = \frac{\omega}{\omega_c}$$

ค่าของความถี่สัมพัทธ์คือความสัมพันธ์ที่เป็นอัตราส่วนระหว่างความถี่ และค่าที่เลือกที่จะเปรียบเทียบ

ข้อสังเกตของความถี่มีดังต่อไปนี้

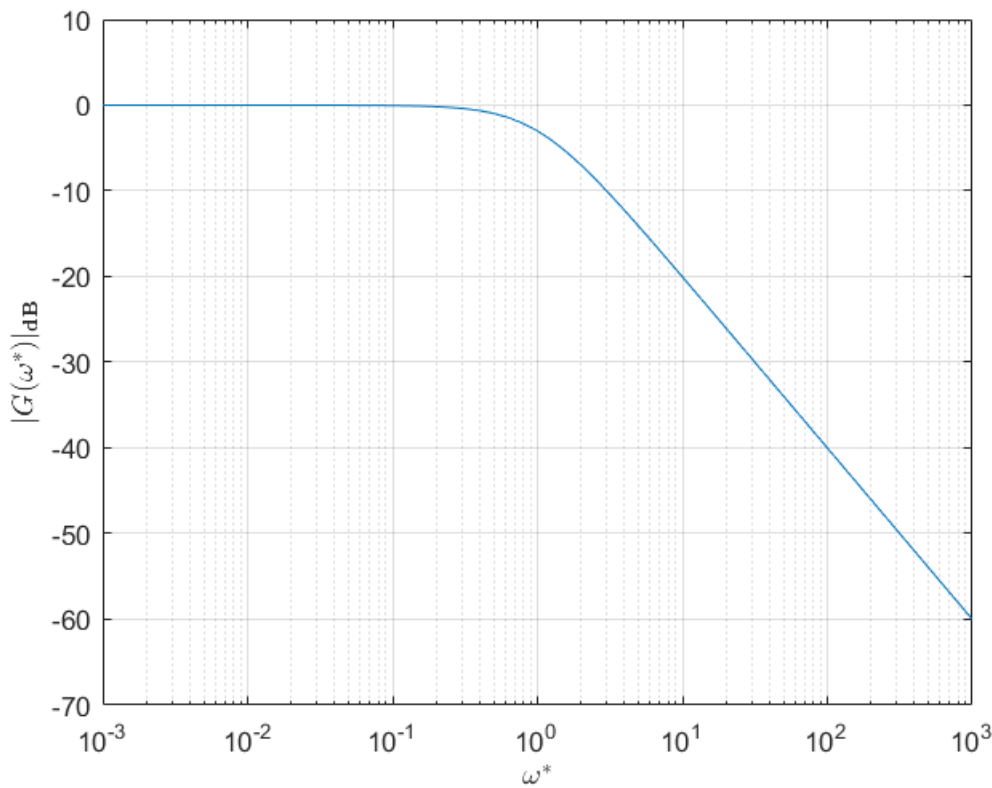
1. ความถี่  $\omega$  โดยทั่วไปอาจถูกมองว่าเป็นลบได้
2. ความถี่สัมพัทธ์  $\omega^*$  จะเป็นบวกเสมอ
3. เพื่อการวิเคราะห์ในย่านความถี่ที่กว้าง เสเกลของความถี่ในกราฟมักจะเป็นเสกสล็อกการิทึม (log-scale)

จากความถี่สัมพัทธ์ที่กำหนด เราจะสามารถเขียนอัตราส่วนขนาดที่ขึ้นอยู่กับความถี่สัมพัทธ์ได้ดังต่อไปนี้

$$|G(\omega^*)|_{\text{dB}} = -10 \log_{10}(1 + (\omega^*)^2)$$

ซึ่งเราสามารถกราฟความสัมพันธ์ได้ดังต่อไปนี้

```
clf;
ax = axes;
w = 10.^(-3:0.1:3);
semilogx(ax,w,-10*log10(1+w.^2));
grid(ax,'on');
axis(ax,[min(w) max(w) -70 10]);
xlabel('$\omega^*$','Interpreter','latex')
ylabel('$|G(\omega^*)|_{\text{dB}}$','Interpreter','latex')
```



ข้อสังเกตของกราฟมีดังต่อไปนี้

1. เสถียรที่ถูกใช้ในตัวแปร  $\omega^*$  เป็นเสถียรลอการิทึม พื้นที่กราฟระหว่าง  $10^k$  และ  $10^{k+1}$  จะถูกแบ่งเป็น 10 ช่องย่อยๆ ซึ่งระยะห่างจะเป็นไปตามเสถียรลอการิทึมเส้นของตาราง (grid) ที่ถูกตีมีค่าตรงกับค่า  $a \cdot 10^k$  โดยที่  $a = \{1, 2, \dots, 9\}$
2. เสถียรที่ถูกใช้ในแกนแนวดิ่งเป็นเสถียรเชิงเส้น แต่ตัวแปรในแนวดิ่งมีค่าเป็นเดซิเบล หากเรามองในมุมมองของอัตราส่วนขนาด(ปกติ) เสถียรนี้ถือว่าเป็นเสถียรลอการิทึมเช่นกัน แต่ถ้าหากมองในมุมมองของอัตราส่วนขนาดในเดซิเบล เสถียรนี้ถือว่าเป็นเสถียรเชิงเส้น

เราจะสังเกตได้ว่าอัตราส่วนขนาดในเดซิเบลมีค่าใกล้เคียงกับ 0 dB หรือ 1 ในช่วงที่  $\omega^* < 1$  หรือ  $\omega < \omega_c$  การที่อัตราส่วนขนาดมีค่าใกล้เคียงกับ 1 หมายความว่าแอมพลิจูดของคลื่นเข้าที่พุดมีขนาดใกล้เคียงกับแอมพลิจูดของคลื่นอินพุต ในทางกลับกัน เราจะสังเกตได้ว่าในช่วงที่  $\omega^* > 1$  หรือ  $\omega > \omega_c$  อัตราส่วนขนาดมีค่าน้อยกว่า 0 dB ซึ่งหมายความว่าแอมพลิจูดของคลื่นเข้าที่พุดจะยิ่งถูกลดทอน นอกจากนี้ เราจะสังเกตได้ว่าอัตราส่วนขนาดในเดซิเบลมีค่าลดลงด้วยอัตรา 20 เดซิเบลต่อการขยายความถี่สิบเท่า หรือ  $20 \left[ \frac{\text{dB}}{\text{decade}} \right]$  ซึ่งหมายความว่าสัญญาณจะถูกลดทอนมากขึ้นเมื่อความถี่เพิ่มขึ้น เราสามารถสรุปได้ว่า ระบบดังกล่าวเป็นตัวกรองแบบ **low-pass** ที่ทำการกรองให้สัญญาณที่มีความถี่ต่ำกว่า  $\omega_c$  ผ่าน (มีแอมพลิจูดที่ใกล้เคียงกับอินพุต) และกรองสัญญาณที่มีความถี่สูงกว่า  $\omega_c$  ออก (แอมพลิจูดถูกลดทอนอย่างมาก) เราจะเรียก  $\omega_c$  ว่าเป็นความถี่ตัด (cutoff frequency)

เพื่อความชัดเจนในการกำหนดย่านความถี่ที่ตัวกรองให้ผ่าน เราสามารถใช้นิยามของอัตราส่วนพลังของระบบในการกำหนด ซึ่งอัตราส่วนพลัง  $|G(\omega^*)|^2$  สามารถเขียนได้ดังต่อไปนี้

$$|G(\omega^*)|^2 = \frac{1}{1 + (\omega^*)^2}$$

ย่านของสัญญาณที่ให้ผ่าน (pass-band)  $\omega_p$  จะถูกกำหนดให้เป็นย่านของสัญญาณที่ทำให้อัตราส่วนพลังระบบมีค่ามากกว่าครึ่งของอัตราส่วนพลัง ณ อินพุตคงที่ (หรือ  $\omega^* = 0$ ) หรือ

$$\omega_p \in \left\{ \omega : |G(\omega)|^2 > \frac{1}{2} |G(0)|^2 \right\}$$

หากเรานำอัตราส่วนพลังของตัวข้างมากำหนดหาช่วงของสัญญาณที่ให้อยู่ เราจะได้ความสัมพันธ์ดังต่อไปนี้

$$\begin{aligned} \frac{1}{1 + (\omega^*)^2} &> \frac{1}{2} \cdot \frac{1}{1 + (0)^2} \\ (\omega^*)^2 &> 1 \\ -1 < \omega^* < 1 \end{aligned}$$

นั่นเลขเป็นที่มาของการกำหนดความถี่ตัดที่  $\omega^* = 1$  เรากำหนดนิยามของความถี่ตัดอย่างเป็นทางการได้ดังต่อไปนี้

**ความถี่ตัด (cutoff frequency)** คือขอบเขตของความถี่ที่เกิดการเปลี่ยนแปลงระหว่างการใช้การลดทอน อัตราส่วนพลัง ณ ความถี่ตัดจะมีค่าเท่ากับ  $\frac{1}{2}$

หากเราวิเคราะห์ที่มุมเฟสของคลื่นเข้าที่พุด เราจะได้ความสัมพันธ์ในเชิงของความถี่เชิงมุมดังต่อไปนี้

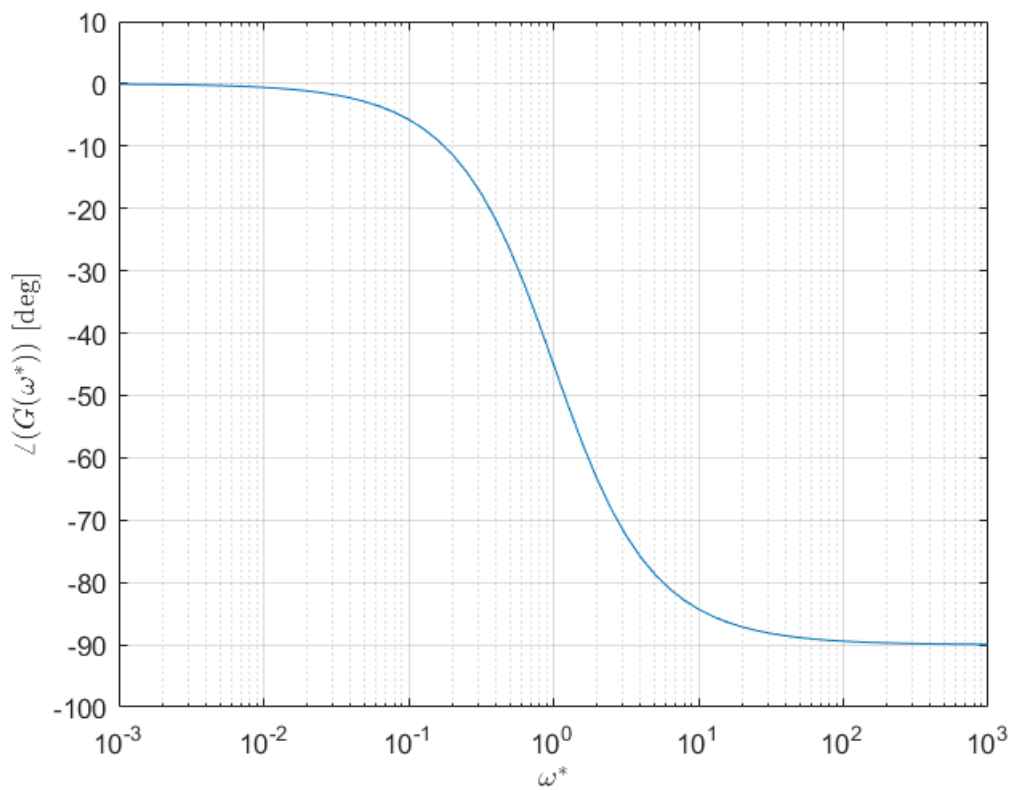
$$\phi_{\text{out}} = \phi_{\text{in}} - \tan^{-1} \left( \frac{\omega}{\omega_c} \right)$$

เพื่อการวิเคราะห์การล่าช้าของสัญญาณ เราสามารถหาเฟสการเลื่อนได้ดังต่อไปนี้

$$\angle(G(\omega^*)) = -\tan^{-1}(\omega^*)$$

ซึ่งเราสามารถกราฟความสัมพันธ์ได้ดังต่อไปนี้

```
clf
ax = axes;
w = 10.^(-3:0.1:3);
semilogx(ax,w,-atan(w)*180/pi);
grid(ax,'on');
axis(ax,[min(w) max(w) -100 10]);
xlabel('$\omega$', 'Interpreter', 'latex')
ylabel('$\angle(G(\omega^*))$ [deg]', 'Interpreter', 'latex')
```



เราจะสังเกตได้ว่าเฟสการเลื่อนของระบบจะมีมากขึ้นเพื่อความถี่เพิ่มขึ้น และเฟสการเลื่อนมีค่ามากที่สุดที่ **-90 องศา**

เฟสการเลื่อนของระบบมีบทบาทต่อเสถียรภาพของระบบซึ่งเราจะศึกษาต่อในวิชาวิศวกรรมระบบควบคุม

การกราฟความสัมพันธ์ระหว่างอัตราส่วนขนาดและเฟสการเลื่อนเมื่อเทียบกับความถี่ในสเกลที่กล่าวไป ถูกเรียกว่า แผนภาพโบเด/โบด (**Bode plot**) ซึ่งเป็นแผนภาพมาตรฐานในการวิเคราะห์เชิงความถี่

## การวิเคราะห์เชิงความถี่

### ตอนที่ 7 : โดเมนของความถี่และอิมพีแดนซ์(Frequency Domain & Impedance)

เดิมทีระบบจะถูกเขียนวิเคราะห์โดเมนของลาปลาซ

$$G(s) = \frac{Y(s)}{U(s)}$$

โดยที่  $s$  เป็นความถี่เชิงซ้อนซึ่งเป็นตัวแปรอิสระ (independent variable) ในโดเมนของลาปลาซ

ความถี่เชิงซ้อนประกอบไปด้วย 2 องค์ประกอบได้แก่ส่วนที่เป็นจำนวนจริงและส่วนที่เป็นจำนวนจินตภาพซึ่งเขียนได้ดังต่อไปนี้

$$s = \sigma + j\omega$$

จากเนื้อหาเรื่องขั้วและศูนย์ (poles & zeros) จำนวนจริง  $\sigma$  จะสัมพันธ์กับผลตอบสนองแบบชั่วคราว แต่ถ้าเราไม่ต้องการที่จะวิเคราะห์ผลตอบสนองแบบชั่วคราว เราสามารถตัดพจน์ที่เป็นจำนวนจริงออกไป ทำให้ความถี่เชิงซ้อนจะกลายเป็นความถี่ธรรมดาหรือ  $s \rightarrow j\omega$  ดังนั้นเราสามารถแปลงฟังก์ชันถ่ายโอนจากโดเมนของลาปลาซให้กลายเป็นโดเมนของความถี่โดยการแทนค่า  $s$  ด้วยจำนวนจินตภาพ  $j\omega$  ตัวแปรอิสระจะถูกเปลี่ยนจาก  $s$  ให้กลายเป็น  $\omega$  เช่น

$$G(s) = \frac{\omega_c}{s + \omega_c} \quad : \text{โดเมนของลาปลาซ}$$

$$G(\omega) = \frac{\omega_c}{j\omega + \omega_c} \quad : \text{โดเมนของความถี่}$$

เราสามารถประยุกต์หลักการนี้กับกฎของโอห์มเพื่อหาความสัมพันธ์ในแต่ละโดเมน

ชิ้นส่วน	โดเมนของเวลา	โดเมนของลาปลาซ	โดเมนของความถี่
inductor	$v = L \frac{d}{dt}(i)$	$V(s) = L s I(s) = Z_L(s) \cdot I(s)$	$V(\omega) = j\omega L I(\omega) = Z_L(\omega) \cdot I(s)$
resistor	$v = R i$	$V(s) = R I(s) = Z_R(s) \cdot I(s)$	$V(\omega) = R I(\omega) = Z_R(\omega) \cdot I(s)$
capacitor	$v = \frac{1}{C} \int (i) dt$	$V(s) = \frac{1}{C s} I(s) = Z_C(s) \cdot I(s)$	$V(\omega) = \frac{1}{j\omega C} I(\omega) = Z_C(\omega) \cdot I(s)$

ถึงแม้ว่าแรงดันไฟฟ้าของแต่ละชิ้นส่วนจะมีความสัมพันธ์เชิงอนุพันธ์ (ต้องใช้สมการเชิงอนุพันธ์ในการแก้ความสัมพันธ์) แต่แรงดันไฟฟ้าในโดเมนอื่นๆมีลักษณะอยู่ในรูปของผลคูณซึ่งการแปลงระบบให้อยู่ในโดเมนของลาปลาซหรือโดเมนของความถี่ทำให้เราสามารถประยุกต์ใช้พีชคณิตเชิงเส้น (linear algebra) ในการวิเคราะห์ระบบ ผลลัพธ์ที่แสดงถึงแรงดันไฟฟ้าสามารถเขียนอยู่ในรูปดังต่อไปนี้

$$V(s) = Z(s) \cdot I(s) \quad : \text{โดเมนของลาปลาซ}$$

$$V(\omega) = Z(\omega) \cdot I(\omega) \quad : \text{โดเมนของความถี่}$$

เราเรียก  $Z(\cdot)$  ว่าอิมพีแดนซ์ (impedance) ซึ่งเป็นค่าที่สื่อถึงการตอบสนองของชิ้นส่วนซึ่งขึ้นอยู่กับความถี่สัญญาณที่ป้อนให้กับระบบด้วย โดยทั่วไป อิมพีแดนซ์ในโดเมนของความถี่จะประกอบไปด้วย ความต้านทาน  $\text{Re}(Z)$  (resistance) และ รีแอกแตนซ์  $\text{Im}(Z)$  (reactance)

$$Z = \text{Re}(Z) + j \cdot \text{Im}(Z)$$

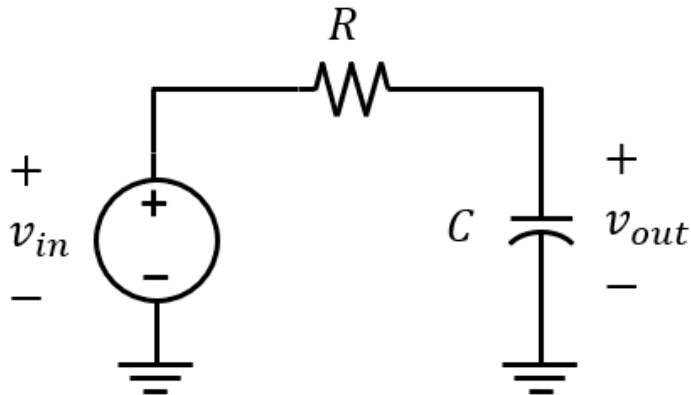
สำหรับกฎของโอห์ม เราจะได้อิมพีแดนซ์ดังต่อไปนี้

ชิ้นส่วน	อิมพีแดนซ์ ( $\omega$ )
inductor	$Z_L = j \omega L$
resistor	$Z_R = R$
capacitor	$Z_C = \frac{1}{j\omega C}$

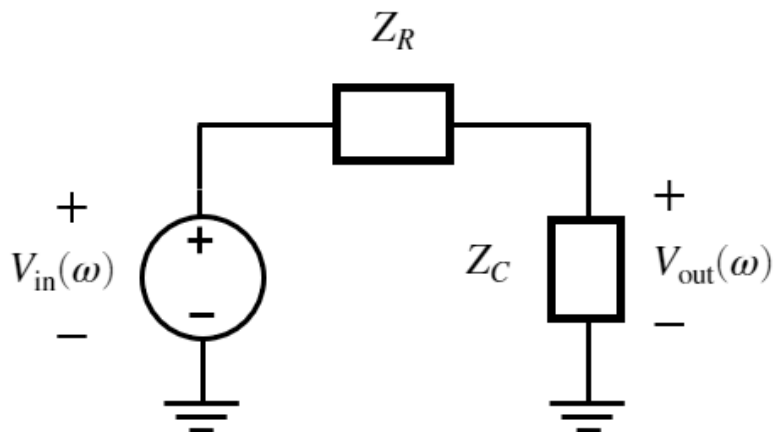
ความสะดวกของการคำนวณในโดเมนความถี่คือการที่เราสามารถแปลงสมการเชิงอนุพันธ์ให้กลายเป็นสมการเชิงพีชคณิตและสามารถประยุกต์ใช้เทคนิคการรวมวงจรได้โดยตรง

## ตัวอย่างที่ 1

กำหนดให้วงจร RC อันดับหนึ่ง (first-order RC circuit) เป็นดังต่อไปนี้



แทนที่เราจะจำลองระบบในโดเมนของเวลา เราสามารถจำลองระบบในโดเมนความถี่โดยตรง เราสามารถมองชิ้นส่วนที่เป็นพาสซีฟ (passive component) ให้เป็นเหมือนตัวต้านทาน ซึ่งสามารถวาดเป็นแผนผังได้ดังนี้





เราสามารถหาคำนวนของวงจรแบ่งแรงดัน (coltage divider) ในการหาแรงดันไฟฟ้าที่เอาต์พุต ซึ่งเขียนเป็นสมการได้ดังต่อไปนี้

$$V_{\text{out}}(\omega) = \frac{Z_C}{Z_R + Z_C} V_{\text{in}}(\omega)$$

$$G(\omega) = \frac{V_{\text{out}}(\omega)}{V_{\text{in}}(\omega)} = \frac{\frac{1}{j\omega C}}{R + \frac{1}{j\omega C}} = \frac{\frac{1}{RC}}{j\omega + \frac{1}{RC}} = \frac{\omega_c}{j\omega + \omega_c}$$

โดยที่  $\omega_c = \frac{1}{RC}$

เราจะสังเกตได้ว่าการหาฟังก์ชันถ่ายโอนนั้นสามารถทำได้โดยใช้แค่กระบวนการทางพีชคณิต ในการวิเคราะห์ขั้นถัดไป เราจำเป็นต้องใช้ "เฟสเซอร์" ในการหาอัตราส่วนขนาดและเฟสการเลื่อนของระบบ

## การวิเคราะห์เชิงความถี่

### ตอนที่ 8 : เฟสเซอร์-เฟสเวกเตอร์ (Phasor-Phase Vector)

จากบทเรียนที่ 6 มา เราจะสังเกตได้ว่าการวิเคราะห์คุณลักษณะของระบบจะเกิดขึ้นในโดเมนของความถี่ (เชิงมุม)  $\omega$  โดยการแก้สมการเชิงอนุพันธ์ที่มีขั้นตอนดังต่อไปนี้

1. จำลองระบบในโดเมนของเวลา
2. แปลงแบบจำลองให้เป็นโดเมนของลาปลาซ (ความถี่เชิงซ้อน)
3. แก้หาเอาต์พุตในโดเมนของลาปลาซ
4. แปลงผลเฉลยให้อยู่ในโดเมนของเวลา
5. วิเคราะห์แอมพลิจูดและเฟสการเลื่อนจากเอาต์พุตในโดเมนของเวลา

เราสามารถใช้ เฟสเวกเตอร์ หรือ เฟสเซอร์ (Phasor) เพื่อลดขั้นตอนการวิเคราะห์ซึ่งมีขั้นตอนดังต่อไปนี้

1. จำลองระบบในโดเมนของความถี่ (จากบทเรียนที่ 7)
2. คำนวณหาอัตราส่วนขนาดโดยตรงจากเฟสเซอร์
3. คำนวณหาเฟสการเลื่อนโดยตรงจากเฟสเซอร์

การคำนวณโดยใช้เฟสเซอร์อาศัยหลักการของจำนวนเชิงซ้อน (complex number) และพิกัดเชิงขั้ว (polar coordinate) เรากำหนดให้เฟสเซอร์คือรูปแบบการนำเสนอของจำนวนเชิงซ้อนในพิกัดเชิงขั้วซึ่งเขียนได้ดังต่อไปนี้

$$z = |z| e^{-j\angle(z)}$$

โดยที่  $z$  เป็นจำนวนเชิงซ้อนใดๆ  $|z|$  เป็นขนาดของเฟสเซอร์  $z$  และ  $\angle(z)$  เป็นมุมของเฟสเซอร์  $z$

หากเราเขียนจำนวนเชิงซ้อนในพิกัดสี่เหลี่ยม (rectangular coordinate) จำนวนเชิงซ้อนจะถูกเขียนอยู่ในรูปของผลบวกระหว่างองค์ประกอบที่เป็นจำนวนจริงและองค์ประกอบที่เป็นจำนวนจินตภาพ

$$z = \text{Re}(z) + j \cdot \text{Im}(z)$$

เราสามารถหาขนาดและมุมของจำนวนเชิงซ้อนดังกล่าวโดยความสัมพันธ์ดังต่อไปนี้

$$|z| = \sqrt{\text{Re}(z)^2 + \text{Im}(z)^2}$$
$$\angle(z) = \tan^{-1}\left(\frac{\text{Im}(z)}{\text{Re}(z)}\right)$$

ในทางกลับกัน เราก็สามารถหาค่าประกอบแต่ละส่วนจากขนาดและมุมโดยความสัมพันธ์ดังต่อไปนี้

$$\text{Re}(z) = |z| \cdot \cos(\angle(z))$$
$$\text{Im}(z) = |z| \cdot \sin(\angle(z))$$

ข้อดีของการใช้เฟสเซอร์คือการคูณและการหารกันของจำนวนเชิงซ้อนที่ง่าย หากเราต้องการคำนวณหาจำนวนผลคูณและผลหารจำนวนเชิงซ้อนสองค่า เราสามารถหาได้จากความสัมพันธ์ดังต่อไปนี้

$$z_1 = |z_1| e^{-j\angle(z_1)}$$

$$z_2 = |z_2| e^{-j\angle(z_2)}$$

$$z_1 \cdot z_2 = |z_1| e^{-j\angle(z_1)} \cdot |z_2| e^{-j\angle(z_2)} = |z_1||z_2| e^{-j\angle(z_1) - j\angle(z_2)} = |z_1||z_2| e^{-j(\angle(z_1) + \angle(z_2))}$$

$$\frac{z_1}{z_2} = \frac{|z_1| e^{-j\angle(z_1)}}{|z_2| e^{-j\angle(z_2)}} = \frac{|z_1|}{|z_2|} e^{-j\angle(z_1) + j\angle(z_2)} = \frac{|z_1|}{|z_2|} e^{-j(\angle(z_1) - \angle(z_2))}$$

เราสามารถสรุปได้ว่า ถ้าเราทำการคูณเฟสเซอร์สองค่า เราสามารถนำขนาดของเฟสเซอร์ทั้งสองมาคูณกันได้เลย และ เราสามารถนำมุมของเฟสเซอร์ทั้งสองมารวมกันได้เลย หากเราต้องการที่จะหารเฟสเซอร์ด้วยเฟสเซอร์อีกค่าหนึ่ง เราสามารถทำการหาขนาดของผลหารโดยการหารขนาดของแต่ละเฟสเซอร์ ส่วนการคำนวณหามุมนั้นทำได้โดยการเอามุมของเฟสเซอร์ตั้งต้นลบด้วยมุมของเฟสเซอร์อีกอัน

จากตัวอย่างในบทเรียนที่ 7 เราสามารถเขียนฟังก์ชันถ่ายโอนในรูปของเศษส่วนของเฟสเซอร์และคำนวณหาอัตราส่วนขนาดและเฟสการเลื่อนได้ดังต่อไปนี้

$$G(\omega) = \frac{\omega_c}{j\omega + \omega_c} = \frac{\omega_c + j \cdot 0}{\omega_c + j\omega}$$

$$G(\omega) = \frac{\sqrt{\omega_c^2 + 0^2} \cdot e^{-j\text{atan}^{-1}\left(\frac{0}{\omega_c}\right)}}{\sqrt{\omega_c^2 + \omega^2} \cdot e^{-j\text{atan}^{-1}\left(\frac{\omega}{\omega_c}\right)}} = \frac{\omega_c \cdot e^{-j(0)}}{\sqrt{\omega_c^2 + \omega^2} \cdot e^{-j\text{atan}^{-1}\left(\frac{\omega}{\omega_c}\right)}}$$

$$G(\omega) = \frac{1}{\sqrt{1 + \left(\frac{\omega}{\omega_c}\right)^2}} \cdot e^{-j\left(-\text{atan}^{-1}\left(\frac{\omega}{\omega_c}\right)\right)} = |G(\omega)| \cdot e^{-j(\angle(G(\omega)))}$$

จากการคำนวณเบื้องต้น เราสามารถหาอัตราส่วนขนาดและเฟสการเลื่อนได้พร้อมๆกัน ซึ่งเขียนเป็นสมการดังต่อไปนี้

$$|G(\omega)| = \frac{1}{\sqrt{1 + \left(\frac{\omega}{\omega_c}\right)^2}}$$

$$\angle(G(\omega)) = -\text{atan}^{-1}\left(\frac{\omega}{\omega_c}\right)$$

เราจะสังเกตได้ว่าเราสามารถคำนวณหาอัตราส่วนขนาดและเฟสการเลื่อนได้สะดวกขึ้นโดยข้ามขั้นตอนการแก้สมการเชิงอนุพันธ์ เทคนิคนี้ใช้ได้เฉพาะระบบที่เป็น **LTI** เท่านั้น

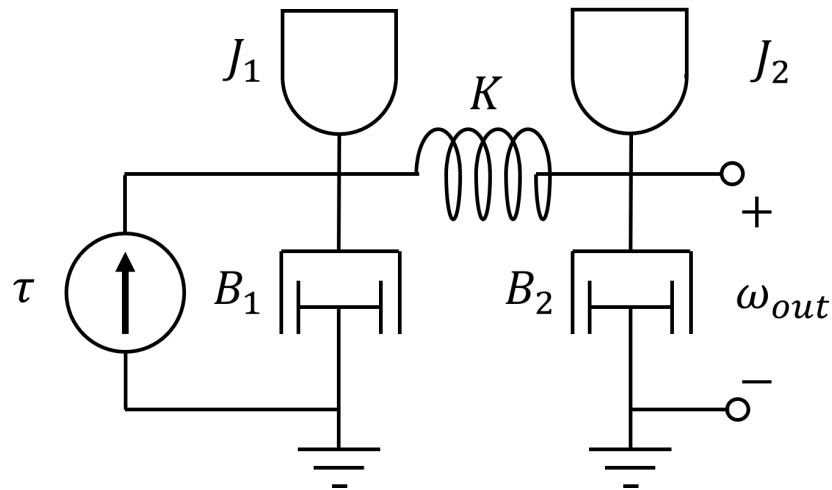
## การวิเคราะห์เชิงความถี่

### ตอนที่ 9 : ความกว้างแถบความถี่ของระบบพลวัต (Bandwidth of Dynamical System)

ทราบว่าระบบพลวัตเป็น LTI เราสามารถที่จะทำการวิเคราะห์เชิงความถี่ ไม่ว่าจะเป็นระบบทางกายภาพเป็นระบบไฟฟ้า ระบบเครื่องกล หรือระบบอื่นๆ

#### ตัวอย่างที่ 1

กำหนดให้ระบบทางกลแบบหมุนเป็นดังแผนภาพวงจรดังกล่าว



โดยที่

$\tau$  คือแรงบิดอินพุตที่กระทำกับเพลานี้

$\omega_{out}$  คือความเร็วเชิงมุมของเพลานี้ที่มีเซนเซอร์วัดความเร็วติดตั้งอยู่ (ชื่อตัวแปรคล้ายกับตัวแปรอิสระ  $\omega$  แต่มีความหมายคนละแบบ)

$J_1$  คือความเฉื่อยของเพลานี้

$J_2$  คือความเฉื่อยของเพลานี้

$B_1$  คือสัมประสิทธิ์ความฝืดเชิงมุมของดัมปเปอร์ที่กระทำกับเพลานี้

$B_2$  คือสัมประสิทธิ์ความฝืดเชิงมุมของดัมปเปอร์ที่กระทำกับเพลานี้

$K$  คือค่าคงที่ของสปริงเชิงมุมระหว่างเพลานี้และเพลานี้

เราสามารถหาสมการเชิงอนุพันธ์ได้ดังต่อไปนี้

$$J_1 \frac{d}{dt}(\omega_1) = \tau - B_1 \omega_1 + \tau_s$$

$$J_2 \frac{d}{dt}(\omega_2) = -\tau_s - B_2 \omega_2$$

$$\frac{d}{dt}(\tau_s) = K(\omega_2 - \omega_1)$$

$$\omega_{\text{out}} = \omega_2$$

เราสามารถแก้สมการเชิงอนุพันธ์โดยแปลงเป็นระบบสมการเชิงเส้นในโดเมนของลาปลาซ

$$J_1 s \Omega_1(s) = T(s) - B_1 \Omega_1(s) + T_s(s)$$

$$J_2 s \Omega_2(s) = -T_s(s) - B_2 \Omega_2(s)$$

$$s T_s(s) = K(\Omega_2(s) - \Omega_1(s))$$

เมื่อทำการจัดรูป เราจะได้สมการ

$$(J_1 s + B_1) \Omega_1(s) - T_s(s) = T(s)$$

$$(J_2 s + B_2) \Omega_2(s) + T_s(s) = 0$$

$$K \Omega_1(s) - K \Omega_2(s) + s T_s(s) = 0$$

จากนั้นเราสามารถเขียนอยู่ในรูปของสมการเวกเตอร์ได้ดังต่อไปนี้

$$\begin{bmatrix} J_1 s + B_1 & 0 & -1 \\ 0 & J_2 s + B_2 & 1 \\ K & -K & s \end{bmatrix} \begin{bmatrix} \Omega_1(s) \\ \Omega_2(s) \\ T_s(s) \end{bmatrix} = \begin{bmatrix} 1 \\ 0 \\ 0 \end{bmatrix} T(s)$$

เราสามารถคำนวณหาเอาต์พุต  $\Omega_{\text{out}}(s)$  ได้จากการหา  $\Omega_2(s)$  ดังนั้น เราจะเขียนสมการความสัมพันธ์ได้ออกมาในรูปดังต่อไปนี้

$$\Omega_{\text{out}}(s) = [0 \quad 1 \quad 0] \begin{bmatrix} \Omega_1(s) \\ \Omega_2(s) \\ T_s(s) \end{bmatrix} = [0 \quad 1 \quad 0] \begin{bmatrix} J_1 s + B_1 & 0 & -1 \\ 0 & J_2 s + B_2 & 1 \\ K & -K & s \end{bmatrix}^{-1} \begin{bmatrix} 1 \\ 0 \\ 0 \end{bmatrix} T(s)$$

$$G(s) = \frac{\Omega_{\text{out}}(s)}{T(s)} = \frac{K}{(J_1 s + B_1)(J_2 s^2 + B_2 s + K) + (J_2 s + B_2)K}$$

$$G(s) = \frac{\frac{K}{J_1}}{s^3 + \left(\frac{B_1}{J_1} + \frac{B_2}{J_2}\right)s^2 + \left(\frac{K}{J_2} + \frac{K}{J_1} + \frac{B_1 B_2}{J_1 J_2}\right)s + \left(\frac{B_1 K}{J_1 J_2} + \frac{B_2 K}{J_2 J_1}\right)}$$

$$G(s) = \frac{\kappa_1}{s^3 + (\beta_1 + \beta_2)s^2 + (\kappa_1 + \kappa_2 + \beta_1 \beta_2)s + (\beta_1 \kappa_2 + \beta_2 \kappa_1)}$$

แปลงอะไรมายังไรจะงง ทำไมตัวกำลังสามกับสองถึงเป็น **s = -jw**

$$G(\omega) = \frac{\kappa_1}{-j\omega^3 - (\beta_1 + \beta_2)\omega^2 + j(\kappa_1 + \kappa_2 + \beta_1\beta_2)\omega + (\beta_1\kappa_2 + \beta_2\kappa_1)}$$

$$G(\omega) = \frac{\kappa_1}{((\beta_1\kappa_2 + \beta_2\kappa_1) - (\beta_1 + \beta_2)\omega^2) + j((\kappa_1 + \kappa_2 + \beta_1\beta_2)\omega - \omega^3)}$$

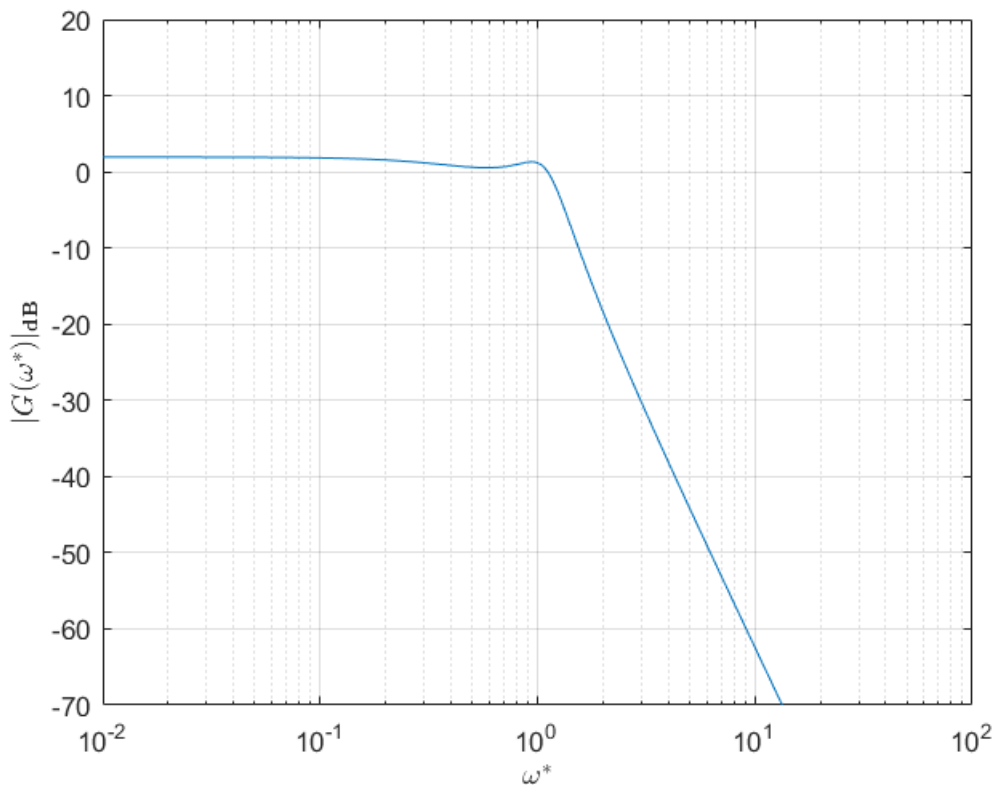
$$G(\omega) = \frac{\kappa_1}{\sqrt{((\beta_1\kappa_2 + \beta_2\kappa_1) - (\beta_1 + \beta_2)\omega^2)^2 + ((\kappa_1 + \kappa_2 + \beta_1\beta_2)\omega - \omega^3)^2}} e^{j \left( \tan^{-1} \left( \frac{(\kappa_1 + \kappa_2 + \beta_1\beta_2)\omega - \omega^3}{(\beta_1\kappa_2 + \beta_2\kappa_1) - (\beta_1 + \beta_2)\omega^2} \right) \right)}$$

$$G(\omega) = \frac{\kappa_1}{\sqrt{((\beta_1\kappa_2 + \beta_2\kappa_1) - (\beta_1 + \beta_2)\omega^2)^2 + ((\kappa_1 + \kappa_2 + \beta_1\beta_2)\omega - \omega^3)^2}} e^{j \left( -\tan^{-1} \left( \frac{(\kappa_1 + \kappa_2 + \beta_1\beta_2)\omega - \omega^3}{(\beta_1\kappa_2 + \beta_2\kappa_1) - (\beta_1 + \beta_2)\omega^2} \right) \right)}$$

เราจะได้อัตราส่วนขนาดดังต่อไปนี้

$$|G(\omega)| = \frac{\kappa_1}{\sqrt{((\beta_1\kappa_2 + \beta_2\kappa_1) - (\beta_1 + \beta_2)\omega^2)^2 + ((\kappa_1 + \kappa_2 + \beta_1\beta_2)\omega - \omega^3)^2}}$$

```
w = 10.^(-2:0.01:2);
J_1 = 0.4;
J_2 = 1;
B_1 = 0.3;
B_2 = 0.5;
K = 0.3;
kappa_1 = B_1/J_1;
kappa_2 = B_2/J_2;
beta_1 = K/J_1;
beta_2 = K/J_2;
im = (kappa_1+kappa_2+beta_1*beta_2)*w-w.^3;
re = beta_1*kappa_2+beta_2*kappa_1-(beta_1+beta_2)*w.^2;
mag_G = kappa_1./sqrt(re.^2+im.^2);
pha_G = -atan(im./re);
clf;
ax = axes;
semilogx(ax,w,20*log10(mag_G));
grid(ax,'on');
hold(ax,'on');
DC_gain = kappa_1/(beta_1*kappa_2+beta_2*kappa_1);
% semilogx(ax,w,20*log10(DC_gain*ones(size(w))), 'k--');
% semilogx(ax,w,20*log10(DC_gain/sqrt(2)*ones(size(w))), 'k--');
axis(ax,[min(w) max(w) -70 20]);
xlabel('$\omega$', 'Interpreter', 'latex')
ylabel('$|G(\omega)|_{\mathbf{dB}}$', 'Interpreter', 'latex')
```



จากกราฟอัตราส่วนของฟังก์ชันโอนเราจะสังเกตได้ว่าระบบมีพฤติกรรมที่คล้ายกับ ตัวกรอง **low-pass** แต่ระบบมีการขยายสัญญาณเพิ่มในช่วงที่ความถี่ต่ำเนื่องอัตราส่วนขนาดมีค่ามากกว่า 0 dB ระบบนี้จะตอบสนองดีในหนึ่งแต่จะตอบสนองน้อยกับอีกช่วงหนึ่ง ช่วงที่ระบบตอบสนองได้ดีนั้นคือ ความกว้างแถบความถี่ (**bandwidth**) ระบบ

การคำนวณ **bandwidth** ของระบบมีหลักการคล้ายกับการหาความถี่ตัดโดยเราจะวิเคราะห์หาความถี่ที่ทำให้อัตราส่วนพลังมีค่ามากกว่าครึ่งหนึ่งของอัตราส่วนพลัง ณ อินพุตคงที่ หรือเขียนเป็นสมการได้ดังนี้

$$|G(\omega_B)|^2 > \frac{1}{2} |G(0)|^2$$

$$|G(\omega_B)| > \frac{1}{\sqrt{2}} |G(0)|$$

โดย  $\omega_B$  คือ **bandwidth** ของระบบ

แทนที่เราจะคำนวณจากสมการ เราสามารถประมาณ **bandwidth** ของระบบได้ด้วยวิธีการตีเส้นในกราฟและหาจุดตัดระหว่างกราฟและเส้นนั้น โคนเส้นนี้จะเป็นเส้นที่มีขนาดเท่ากับ

$\frac{1}{\sqrt{2}}$  ของ  $|G(0)|$  หรือ

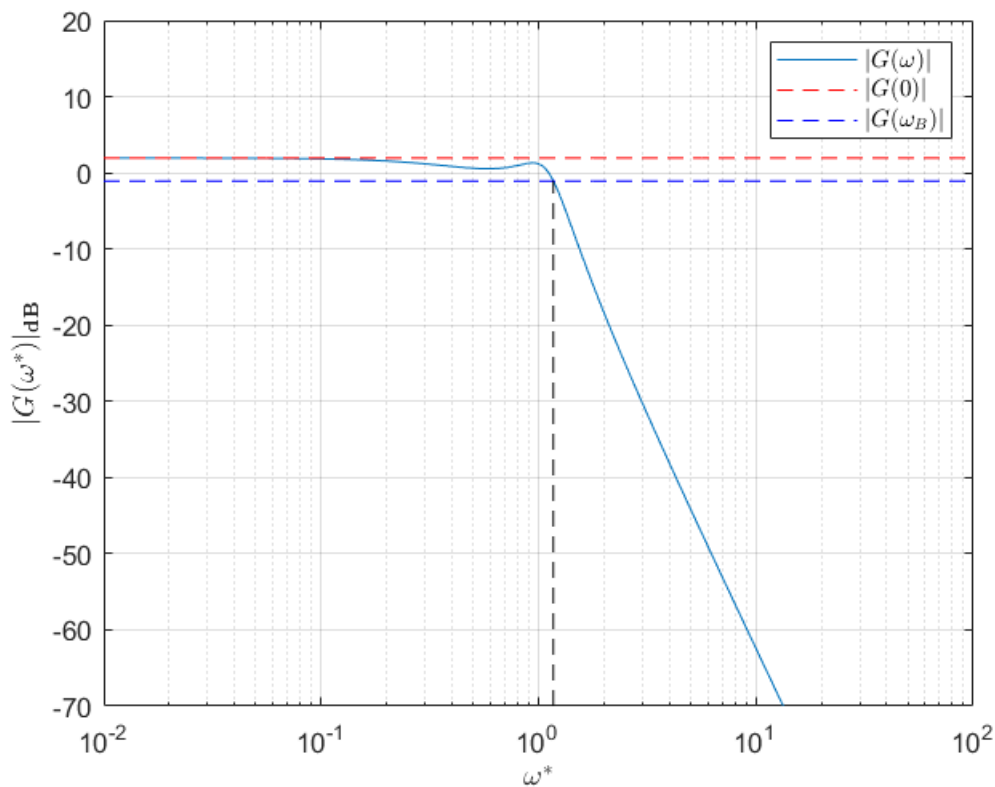
$$20\log_{10}\left(\frac{1}{\sqrt{2}} \cdot |G(0)|\right) = |G(0)|_{dB} - 10\log_{10}(2) \approx |G(0)|_{dB} - 3$$

```
w = 10.^(-2:0.01:2);
J_1 = 0.4;
J_2 = 1;
B_1 = 0.3;
B_2 = 0.5;
K = 0.3;
kappa_1 = B_1/J_1;
```

```

kappa_2 = B_2/J_2;
beta_1 = K/J_1;
beta_2 = K/J_2;
im = (kappa_1+kappa_2+beta_1*beta_2)*w-w.^3;
re = beta_1*kappa_2+beta_2*kappa_1-(beta_1+beta_2)*w.^2;
mag_G = kappa_1./sqrt(re.^2+im.^2);
pha_G = -atan(im./re);
clf;
ax = axes;
semilogx(ax,w,20*log10(mag_G));
grid(ax,'on');
hold(ax,'on');
DC_gain = kappa_1/(beta_1*kappa_2+beta_2*kappa_1);
semilogx(ax,w,20*log10(DC_gain*ones(size(w))), 'r--');
semilogx(ax,w,20*log10(DC_gain/sqrt(2)*ones(size(w))), 'b--');
plot(ax,[1.170798 1.170798],[-70 -1.0721], 'k--')
axis(ax,[min(w) max(w) -70 20]);
xlabel('$\omega$', 'Interpreter', 'latex')
ylabel('$|G(\omega^*)|_{dB}$', 'Interpreter', 'latex')
legend({'$|G(\omega)|$', '$|G(0)|$', '$|G(\omega_B)|$'}, 'Interpreter', 'latex')

```



เราจะได้ว่า **bandwidth** ของระบบเครื่องกลนี้อยู่ที่  $1.170798 \left[ \frac{\text{rad}}{\text{s}} \right]$  หรือประมาณ  $0.1863 \text{ [Hz]}$

เราสามารถออกแบบตัวกรองสัญญาณจาก **bandwidth** ของระบบได้ เนื่องจากระบบจริงมีการตอบสนองในช่วงของ **bandwidth** เราสามารถกรองสัญญาณรบกวนที่มีความถี่สูงกว่า **bandwidth** ออกไปได้ ในกรณีตัวอย่าง เราสามารถออกแบบตัวกรอง **low-pass** ที่มีความถี่ตัดในบริเวณ  $0.1863 \text{ [Hz]}$



เราสามารถสรุปกระบวนการประมาณ **bandwidth** ได้ดังต่อไปนี้

1. กราฟแผนภาพโบลในส่วนของ อัตราส่วนขนาด
2. คำนวณหา อัตราส่วนขนาด ณ อินพุตคงที่  $|G(0)|_{\text{dB}}$
3. นำอัตราส่วนขนาด(ในเดซิเบล) ไปลบด้วย  $10\log_{10}(2)$  หรือประมาณ 3 dB
4. วาดเส้นแนวนอนในกราฟที่ค่าผลลบที่หามาได้
5. ดูจุดตัดระหว่างกราฟและเส้นแนวนอน และหาพิกัดของความถี่ ณ จุดตัดนั้น